

§ 6.3 基带信号通过加性白高斯噪声信道传输

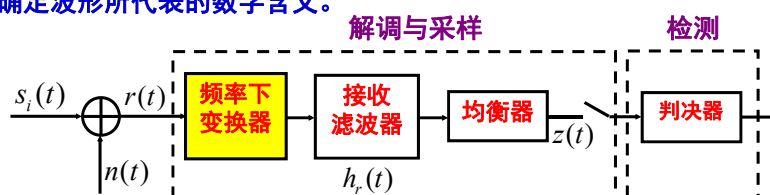
在基带传输情况中，接收到的是**基带波形脉冲**，要通过**解调**恢复脉冲波形。由于经过传输的脉冲波形已**非原来理想的发送波形**，信道滤波和接收机的前端滤波使波形失真，引起了**码间干扰（ISI）**。另外由于在传输过程中存在各种干扰和加性噪声，使得接收到的脉冲波形迭加上噪声干扰，因而在**对信号采样判决时会出现错误**。**解调的目的在于要免除码间干扰影响，以可能最好的信号噪声比来恢复基带脉冲。**

通过对发送、接收滤波器的正确设计，以及利用各种均衡器技术，原则上可以消除码间干扰影响。

本节主要讨论基带信号通过加性白高斯噪声信道（AWGN）传输，不考虑由于频带限制所带来的码间干扰影响；即把信道作为无限带宽系统。

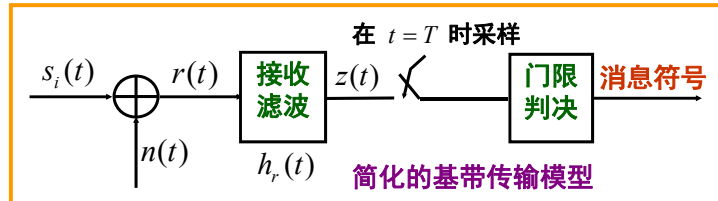
一、解调和检测

解调就是把接收到波形恢复成发送的基带脉冲，而**检测**是指作出判断，确定波形所代表的数字含义。



频率下变换方框是为带通信号传输所设计，对于基带信号传输来说，它可以完全省去。**接收滤波器**，执行波形恢复的功能。接收滤波器是以最好的信噪比恢复基带脉冲。这种最佳滤波器也称为**匹配滤波器**，或者叫**相关器**。由于发送滤波和信道滤波使得接收到的脉冲序列发生码间干扰，不适于直接采样和判决，**均衡器**用来消除由带限系统所引起的码间干扰（ISI）。实际系统中接收滤波器和均衡器往往结合在一起。

解调/检测过程包含有二个转换。**第一是波形—样本转换，这由采样器完成。**在每个符号时间 T 结束，采样器输出样本值 $z(mT)$ ，也称 $z(mT)$ 为**检测统计量**。检测统计量是一个随机变量，它与接收到符号的能量及附加噪声有关。由于输入噪声是Gaussian过程，接收滤波器是线性的，所以滤波器输出噪声也是高斯的。**第二是样本到消息符号转换。**



$$s_i(t) = \begin{cases} s_1(t) & 0 \leq t \leq T \quad \text{发送 "1"} \\ s_0(t) & 0 \leq t \leq T \quad \text{发送 "0"} \end{cases}$$

$$r(t) = s_i(t) + n(t) \quad z(t) = r(t) \otimes h_r(t)$$

$$z(T) = a_i(T) + n_0(T)$$

3/65

$z(t)$ 在时刻 $t = T$ 的**采样输出**为，

$$z(T) = a_i(T) + n_0(T)$$

其中 $a_i(T)$ 是由信号分量得到的，是所需分量； $n_0(T)$ 是噪声分量。

$$z = a_i + n_0$$

$n_0(T)$ 是均值为零，方差为 σ_0^2 的高斯噪声

$$p(z | s_0) = \frac{1}{\sqrt{2\pi}\sigma_0} \exp \left[-\frac{1}{2} \left(\frac{z - a_0}{\sigma_0} \right)^2 \right]$$

$$p(z | s_1) = \frac{1}{\sqrt{2\pi}\sigma_0} \exp \left[-\frac{1}{2} \left(\frac{z - a_1}{\sigma_0} \right)^2 \right]$$

$p(z | s_0)$ 和 $p(z | s_1)$ 分别称为是 s_0 和 s_1 的**似然概率（概率密度函数）**。

判决器作用是把采样值 z 与某门限 γ 相比，根据大于 γ 还是小于 γ 来确定发送的是 s_0 ，还是 s_1 。**基带传输系统中的解调和检测主要归结为**

如何设计一个好的接收滤波器和如何选择比较门限。

4/65

二、信号和噪声的矢量空间表示

N维矢量空间

在N维矢量空间S中每个矢量x用它的N个坐标表示为 (x_1, x_2, \dots, x_N) ;

两个矢量x、y的和定义为:

$$\mathbf{x} + \mathbf{y} = (x_1 + y_1, x_2 + y_2, \dots, x_N + y_N)$$

矢量x与标量 α 之积定义:

$$\alpha \mathbf{x} = (\alpha x_1, \alpha x_2, \dots, \alpha x_N)$$

两个矢量x、y的内积:

$$\mathbf{x} \cdot \mathbf{y} = \sum_{i=1}^N x_i y_i$$

矢量x的长度定义为:

$$\|\mathbf{x}\| = \sqrt{\mathbf{x} \cdot \mathbf{x}} = \sqrt{\sum_{i=1}^N x_i^2}$$

5/65

矢量x的长度定义为:

$$\|\mathbf{x}\| = \sqrt{\mathbf{x} \cdot \mathbf{x}} = \sqrt{\sum_{i=1}^N x_i^2}$$

两个矢量x、y的夹角: $\cos \theta = \frac{\mathbf{x} \cdot \mathbf{y}}{\|\mathbf{x}\| \times \|\mathbf{y}\|}$

$$\mathbf{v}_1 = (1, 0, 0, \dots, 0)$$

$$\mathbf{v}_2 = (0, 1, 0, \dots, 0)$$

...

$$\mathbf{v}_N = (0, 0, 0, \dots, 1)$$

是一组相互正交, 归一的矢量, 称为**基矢量**。

6/65

Gram-Schmidt规范化法则

对于任何 N 个线性无关矢量 $x_i, i=1,2,\dots,N$, 可以通过如下方法得到一组 N 个**正交、规一**矢量 $\{e_i\}$;

$$\begin{aligned} \text{任取一个矢量, 比如 } x_1, & \quad e_1 = x_1 / \|x_1\|; \\ b_2 = x_2 - (x_2 \cdot e_1)e_1, & \quad e_2 = b_2 / \|b_2\|; \\ b_3 = x_3 - (x_3 \cdot e_1)e_1 - (x_3 \cdot e_2)e_2, & \quad e_3 = b_3 / \|b_3\|; \\ \dots \quad \dots & \quad \dots \\ b_n = x_n - \sum_{i=1}^{n-1} (x_n \cdot e_i)e_i, & \quad e_n = b_n / \|b_n\|; \quad n=1,2,\dots,N \end{aligned}$$

可以把任何一组 N 个正交、规一矢量, 作为这个 N 维空间 S 的基矢量。

7/65

信号和噪声的矢量空间表示

把在 $(0,T)$ 上平方可积函数 $x(t)$ 和 $y(t)$ 看成是**矢量**,

$x(t)$ 和 $y(t)$ 的**内积定义**: $(x(t) \cdot y(t)) = \int_0^T x(t)y(t)dt$

$x(t)$ 函数的**长度定义**为: $\|x(t)\| = \sqrt{\int_0^T x^2(t)dt}$

$x(t)$ 和 $y(t)$ 的**夹角定义**: $\cos \theta = \frac{(x(t) \cdot y(t))}{\|x(t)\| \times \|y(t)\|}$

$\varphi_i(t), i=1,2,\dots,N$ 是一组在 $(0,T)$ 上定义的**正交、规一**函数, 即

$$\int_0^T \varphi_i(t)\varphi_j(t)dt = \delta_{ij} = \begin{cases} 1 & i=j \\ 0 & i \neq j \end{cases}$$

矢量



函数

8/65

任何一个由 $\{\varphi_i(t)\}$ 线性组合构成的函数 $s(t)$ 可以表示为：

$$s(t) = s_1\varphi_1(t) + s_2\varphi_2(t) + \cdots + s_N\varphi_N(t)$$

把 $\{\varphi_i(t)\}$ 看成是一组 N 个正交、规范基函数，相当于 N 维正交空间的 N 个正交单位向量。于是 $s(t)$ 就可以看成为是这个 N 维空间中的一个点，它的座标为 (s_1, s_2, \cdots, s_N) ，称这 N 维空间为信号空间。

由 Gram-Schmidt 正交化步骤：

可以从任何一组 M 个波形 $\{s_i(t)\}$ ， $i = 1, 2, \cdots, M$ ， $t \in [0, T]$ 构造出一组

N 个正交规范波形 $\varphi_1(t), \varphi_2(t), \cdots, \varphi_N(t)$ ， $N \leq M$ ；

任取一个函数，比如 $s_1(t)$ ， $\varphi_1(t) = s_1(t) / \|s_1(t)\|$ ；

$b_2(t) = s_2(t) - \langle s_2(t), \varphi_1(t) \rangle \varphi_1(t)$ ， $\varphi_2(t) = b_2(t) / \|b_2(t)\|$ ；

$b_3(t) = s_3(t) - \langle s_3(t), \varphi_1(t) \rangle \varphi_1(t) - \langle s_3(t), \varphi_2(t) \rangle \varphi_2(t)$ ， $\varphi_3(t) = b_3(t) / \|b_3(t)\|$ ；

$\cdots \quad \cdots$

$b_n(t) = s_n(t) - \sum_{i=1}^{n-1} \langle s_n(t), \varphi_i(t) \rangle \varphi_i(t)$ ， $\varphi_n(t) = b_n(t) / \|b_n(t)\|$ ；
 $n = 1, 2, \cdots, N$

9/65

使得：

$$s_1(t) = s_{11}\varphi_1(t) + s_{12}\varphi_2(t) + \cdots + s_{1N}\varphi_N(t)$$

$$s_2(t) = s_{21}\varphi_1(t) + s_{22}\varphi_2(t) + \cdots + s_{2N}\varphi_N(t)$$

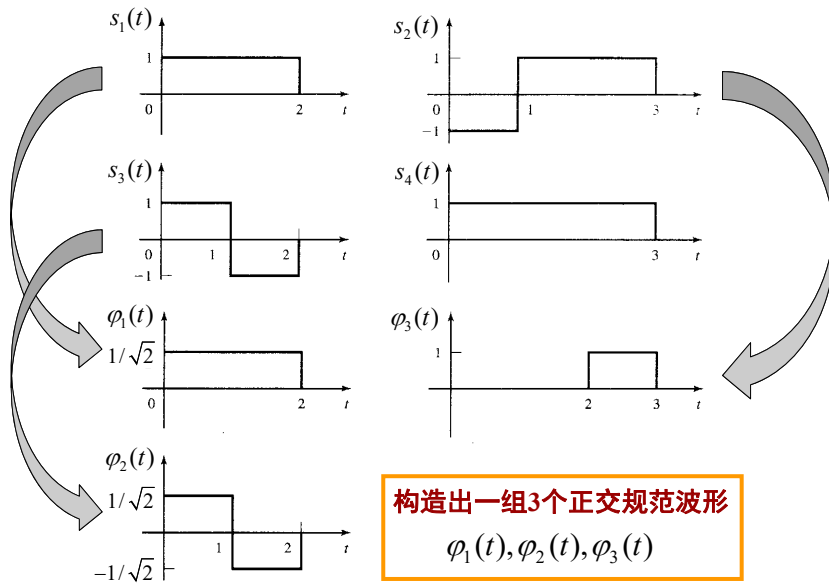
\vdots

$$s_M(t) = s_{M1}\varphi_1(t) + s_{M2}\varphi_2(t) + \cdots + s_{MN}\varphi_N(t)$$

$$s_{ij} = \int_0^T s_i(t) \varphi_j(t) dt, \quad i = 1, 2, \cdots, M; j = 1, 2, \cdots, N$$

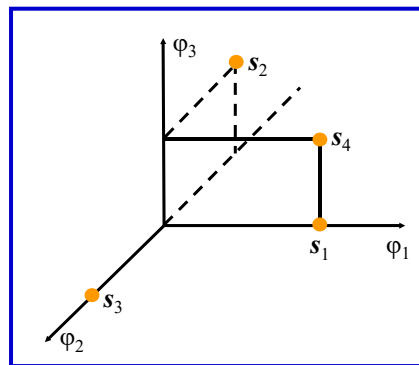
10/65

[例] 4个基带信号 $s_1(t), s_2(t), s_3(t), s_4(t)$



11/65

$$\begin{aligned} s_1(t) &= \sqrt{2}\varphi_1(t) \\ s_2(t) &= -\sqrt{2}\varphi_2(t) + \varphi_3(t) \\ s_3(t) &= \sqrt{2}\varphi_2(t) \\ s_4(t) &= \sqrt{2}\varphi_1(t) + \varphi_3(t) \\ s_1 &= (\sqrt{2}, 0, 0), s_2 = (0, -\sqrt{2}, 1), \\ s_3 &= (0, \sqrt{2}, 0), s_4 = (\sqrt{2}, 0, 1) \\ \|s_1\|^2 &= 2, \|s_2\|^2 = 3, \\ \|s_3\|^2 &= 2, \|s_4\|^2 = 3 \end{aligned}$$



每个信号波形 $s_i(t)$ 可以用矢量 $(s_{i1}, s_{i2}, \dots, s_{iN})$ 表示，信号能量

$$E_i = \int_0^T s_i^2(t) dt = \int_0^T \left[\sum_{j=1}^N s_{ij} \varphi_j(t) \right]^2 dt = \sum_{j=1}^N s_{ij}^2 \triangleq \|s_i\|^2 \quad i = 1, 2, \dots, M$$

信号的能量相当于矢量 $(s_{i1}, s_{i2}, \dots, s_{iN})$ 长度的平方。

12/65

[例] 在 $(-\pi, \pi)$ 上定义的**16个基带信号**：

$$s_{i,j}(t) = i \cdot \cos t + j \cdot \sin t, \quad i, j = \pm 1, \pm 3$$

可以用**二维信号空间中的点**表示，该二维信号空间的基矢量函数为：

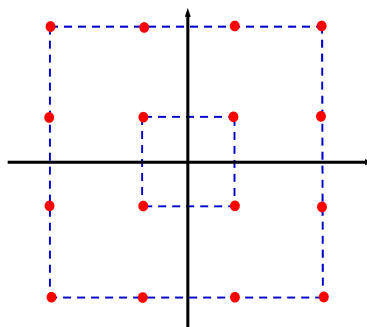
$$\varphi_1(t) = \frac{\cos t}{\sqrt{\pi}} \quad \varphi_2(t) = \frac{\sin t}{\sqrt{\pi}}$$

所以

$$s_{i,j}(t) = i\sqrt{\pi} \cdot \varphi_1(t) + j\sqrt{\pi} \cdot \varphi_2(t)$$

$$\mathbf{s}_{i,j} = (i\sqrt{\pi}, j\sqrt{\pi})$$

$$\|\mathbf{s}_{i,j}\|^2 = (i^2 + j^2)\pi$$



13/65

双边功率谱密度为 $N_0/2$ 的白高斯噪声也可以表示成二部分组成，

$$n(t) = \hat{n}(t) + \tilde{n}(t)$$

其中
$$\hat{n}(t) = \sum_{j=1}^N n_j \varphi_j(t), \quad n_j = \int_0^T n(t) \varphi_j(t) dt$$

是 $n(t)$ 在这 N 维信号空间中的投影。

另一部分：

$$\tilde{n}(t) = n(t) - \hat{n}(t)$$

是与**信号空间正交的分量**。因为对任何 $\varphi_j(t), j = 1, 2, \dots, M$

$$\int_0^T \tilde{n}(t) \varphi_j(t) dt = 0 \quad \text{与信号检测无关}$$

14/65

$\hat{n}(t)$ 可以用矢量 (n_1, n_2, \dots, n_N) 表示。

分量 n_i 是**高斯随机变量**， n_i 的均值和协方差分别为：

$$\begin{aligned} E[n_i] &= E\left[\int_0^T n(t)\varphi_i(t)dt\right] = 0 \\ E[n_i n_j] &= \int_0^T \int_0^T E[n(t)n(\tau)]\varphi_i(t)\varphi_j(\tau)dtd\tau \\ &= \int_0^T \int_0^T \frac{N_0}{2}\delta(t-\tau)\varphi_i(t)\varphi_j(\tau)dtd\tau \\ &= \frac{N_0}{2}\delta_{ij} \\ &= \begin{cases} \frac{N_0}{2} & i = j \\ 0 & i \neq j \end{cases} \end{aligned}$$

N 维噪声矢量 $\hat{n}(t) = (n_1, n_2, \dots, n_N)$ 的概率分布为：

$$f(n) = \prod_{i=1}^N f(n_i) = \frac{1}{(\pi N_0)^{N/2}} \exp\left[-\sum_{i=1}^N \frac{n_i^2}{N_0}\right]$$

15/65

三、基函数相关解调 --AWGN

当发送是信号 $s_k(t)$ 时，接收到

$$r(t) = s_k(t) + n(t), \quad k = 1, 2, \dots, M$$

$r(t)$ 投影到 N 维信号空间，得到的矢量表示为 $\mathbf{r} = (r_1, r_2, \dots, r_N)$

$$r_i = \int_0^T r(t)\varphi_i(t)dt = s_{ki} + n_i \quad i = 1, 2, \dots, N$$

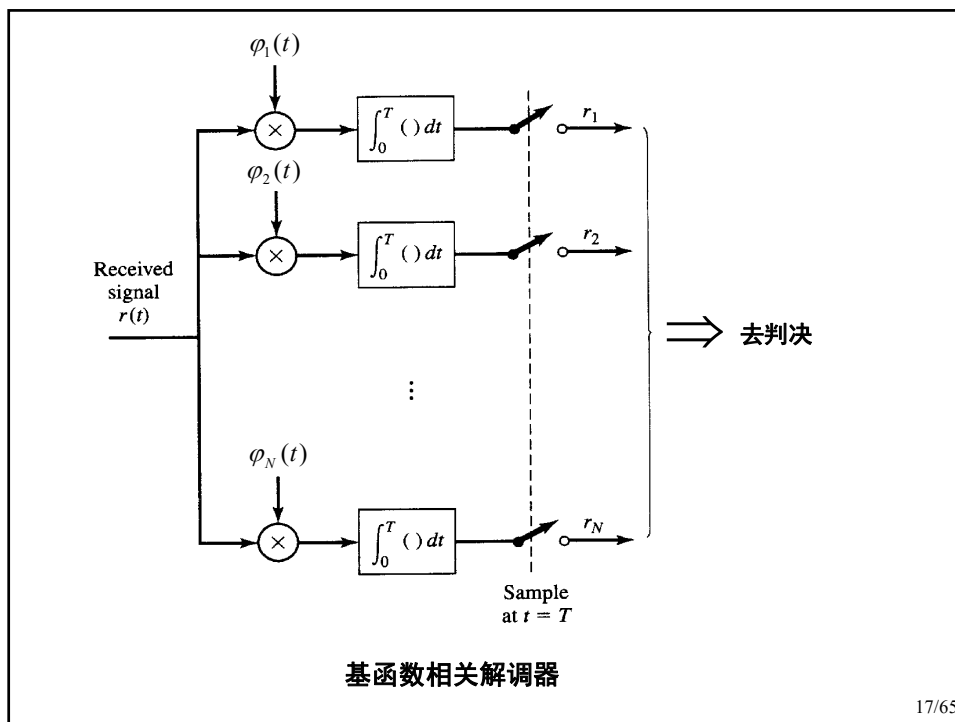
r_i 是均值为 s_{ki} ，方差为 $\frac{N_0}{2}$ 的**独立高斯随机变量**，所以在发送 $s_k(t)$

条件下，接收到 $\mathbf{r} = (r_1, r_2, \dots, r_N)$ 的**条件概率密度**为：

$$\begin{aligned} p(\mathbf{r} | s_i) &= \frac{1}{(\pi N_0)^{N/2}} \exp\left\{-\sum_{i=1}^N (r_k - s_{ki})^2 / N_0\right\} \\ &= \frac{1}{(\pi N_0)^{N/2}} \exp\left\{-\|\mathbf{r} - \mathbf{s}_i\|^2 / N_0\right\} \end{aligned}$$

其中 $\|\mathbf{r} - \mathbf{s}_i\|$ 表示矢量 $(\mathbf{r} - \mathbf{s}_i)$ 的长度。

16/65



17/65

$\mathbf{r} = (r_1, r_2, \dots, r_N)$ 是作出判决的**充分统计量**；也就是说**作出正确判决**

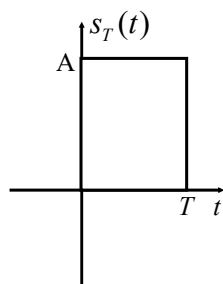
的信息包含在**矢量 \mathbf{r}** 中，与噪声分量 $\tilde{n}(t)$ 无关。 $n(t) = \hat{n}(t) + \tilde{n}(t)$

$$\begin{aligned}
 E[\tilde{n}(t) \cdot r_i] &= E[\tilde{n}(t) \cdot s_{ki}] + E[\tilde{n}(t) \cdot n_i] = E[\tilde{n}(t) \cdot n_i] \\
 &= E\left\{ \left[n(t) - \sum_{j=1}^N n_j \varphi_j(t) \right] \cdot n_i \right\} \\
 n_i &= \int_0^T n(t) \varphi_i(t) dt \rightarrow \int_0^T E[n(t) \cdot n(\tau)] \varphi_i(\tau) d\tau - \sum_{j=1}^N E(n_j \cdot n_i) \varphi_j(t) \\
 &= \frac{N_0}{2} \varphi_i(t) - \frac{N_0}{2} \varphi_i(t) = 0
 \end{aligned}$$

所以 $\tilde{n}(t)$ 和 $\{r_i\}$ 是**不相关的**。对于**高斯变量**，不相关就意味着相互独立，所以 $\tilde{n}(t)$ 和 $\{r_i\}$ **独立的**。从而 $\{r_i\}$ 是一组充分统计量，给出的充分统计量的解调器是一组基函数相关器。

18/65

[例6.3.3] M 电平PAM传输，其中基本脉冲形状 $s_T(t)$ 为矩形，如图所示，加性噪声是零均值，白高斯噪声。求基函数 $\varphi(t)$ 和基函数相关解调器输出。



[解] 矩形脉冲能量为

$$E_s = \int_0^T s_T^2(t) dt = A^2 T$$

因为PAM信号集合具有维数 $N = 1$

只有一个基函数 $\varphi(t)$,

$$\varphi(t) = \frac{1}{\sqrt{A^2 T}} s_T(t) = \begin{cases} \frac{1}{\sqrt{T}} & 0 \leq t \leq T \\ 0 & \text{其它} \end{cases}$$

基函数相关型解调器输出为，

$$r = \int_0^T r(t) \cdot \varphi(t) dt = \frac{1}{\sqrt{T}} \int_0^T r(t) dt$$

相关器变成了简单的积分器。

$$\longrightarrow \int_0^T r(t) \varphi(t) dt \longrightarrow$$

19/65

发送的**第 m 电平基带脉冲**可表示为，

$$s_m(t) = A_m s_T(t) = A_m \sqrt{A^2 T} \varphi(t) \triangleq s_m \varphi(t)$$

则

$$\begin{aligned} r &= \frac{1}{\sqrt{T}} \int_0^T [s_m(t) + n(t)] dt \\ &= \frac{1}{\sqrt{T}} \left[\int_0^T s_m \cdot \varphi(t) dt + \int_0^T n(t) dt \right] = s_m + n \end{aligned}$$

其中

$$E[n] = 0$$

$$\begin{aligned} \sigma_n^2 &= E \left\{ \frac{1}{T} \int_0^T \int_0^T n(t) n(\tau) dt d\tau \right\} = \frac{1}{T} \int_0^T \int_0^T E[n(t) n(\tau)] dt d\tau \\ &= \frac{N_0}{2T} \int_0^T \int_0^T \delta(t - \tau) dt d\tau = \frac{N_0}{2} \end{aligned}$$

所以

$$p(r | s_m) = \frac{1}{\sqrt{\pi N_0}} \exp \left\{ -(r - s_m)^2 / N_0 \right\}$$

20/65

四、基函数匹配滤波器解调

基函数相关型解调是利用一组 N 个相关器构造出充分统计量提供给后面的检测判决装置。也可以用一组滤波器来代替相关器，这组 N 个滤波器的脉冲响应为：

$$h_k(t) = \begin{cases} \varphi_k(T-t), & 0 \leq t \leq T \\ 0 & \text{其它} \end{cases}, \quad k=1,2,\dots,N$$

其中 $\varphi_k(t)$ 是信号空间的 N 个基函数。滤波器输出为

$$\begin{aligned} y_k(t) &= \int_0^t r(\tau) h_k(t-\tau) d\tau \\ &= \int_0^t r(\tau) \varphi_k(T-t+\tau) d\tau, \quad k=1,2,\dots,N \end{aligned}$$

当 $t=T$ 时，这些匹配滤波器输出正好是 N 个基函数相关器的输出。

[定义] 当信号 $s(t)$ 是 $0 \leq t \leq T$ 上定义的函数，则脉冲响应为：

$$h(t) = \begin{cases} s(T-t) & 0 \leq t \leq T \\ 0 & \text{其它} \end{cases}$$

的滤波器称为是信号 $s(t)$ 的匹配滤波器。

21/65

匹配滤波器性质

[定理] 如果信号 $s(t)$ 受到AWGN干扰，则信号 $s(t)$ 通过与它相匹配的滤波器，可获得最大信噪比。

[证明] 设持续时间为 T 的信号 $s(t)$ 在信道上受到功率谱密度为 $\frac{N_0}{2}$ 的AWGN干扰，则接收到信号，

$$r(t) = s(t) + n(t), \quad 0 \leq t \leq T$$

设接收滤波器的脉冲响应为 $h(t)$ ，传递函数为 $H(f)$ ， $r(t)$ 通过滤波器后输出为，

$$\begin{aligned} y(t) &= \int_0^t r(\tau) h(t-\tau) d\tau \\ &= \int_0^t s(\tau) h(t-\tau) d\tau + \int_0^t n(\tau) h(t-\tau) d\tau \end{aligned}$$

$$\begin{aligned} \text{当 } t=T, \quad y(T) &= \int_0^T s(\tau) h(T-\tau) d\tau + \int_0^T n(\tau) h(T-\tau) d\tau \\ &= y_s(T) + y_n(T) \end{aligned}$$

22/65

在时刻 $t = T$ 输出信噪比 (SNR) 为

$$\begin{aligned}\left(\frac{S}{N}\right)_o &= \frac{y_s^2(T)}{E[y_n^2(T)]} \\ E[y_n^2(T)] &= \int_0^T \int_0^T E[n(\tau)n(t)]h(T-\tau)h(T-t)d\tau dt \\ &= \frac{N_0}{2} \int_0^T \int_0^T \delta(t-\tau)h(T-\tau)h(T-t)d\tau dt \\ &= \frac{N_0}{2} \int_0^T h^2(T-t)dt \\ \left(\frac{S}{N}\right)_o &= \frac{\left|\int_0^T s(\tau)h(T-\tau)d\tau\right|^2}{\frac{N_0}{2} \int_0^T h^2(T-t)dt}\end{aligned}$$

由Cauch-Schwartz不等式, 如 $g_1(t)$ 、 $g_2(t)$ 是平方可积函数则

$$\left|\int_{-\infty}^{\infty} g_1(t)g_2(t)dt\right|^2 \leq \int_{-\infty}^{\infty} g_1^2(t)dt \cdot \int_{-\infty}^{\infty} g_2^2(t)dt$$

等号在 $g_1(t) = c \cdot g_2(t)$ 时成立, c 为任意常数。

23/65

因此

$$\left(\frac{S}{N}\right)_o \leq \frac{\int_0^T s^2(\tau)d\tau}{N_0/2} = \frac{2E_s}{N_0}$$

其中 E_s 为信号 $s(t)$ 的能量。上式的等号仅在

$$s(t) = c \cdot h(T-t), \quad 0 \leq t \leq T$$

或

$$h(t) = c \cdot s(T-t), \quad 0 \leq t \leq T$$

时成立时, 也就是说滤波器 $h(t)$ 是信号 $s(t)$ 的匹配滤波器时, 输出信噪比在时刻 $t = T$ 最大。 [证毕]

下面计算匹配滤波器的频率传递函数。

$$\begin{aligned}H(f) &= \int_{-\infty}^{\infty} h(t)e^{-j2\pi ft}dt = \int_0^T c \cdot s(T-t)e^{-j2\pi ft}dt \\ &= \left[\int_0^T c \cdot s(\tau)e^{j2\pi f\tau}d\tau\right]e^{-j2\pi fT} = c \cdot S^*(f)e^{-j2\pi fT}\end{aligned}$$

$$H(f) = c \cdot S^*(f)e^{-j2\pi fT}$$

24/65

匹配滤波器的频率传递函数： $H(f) = c \cdot S^*(f)e^{-j2\pi fT}$

•从幅频特性来看，匹配滤波器和输入信号的幅频特性完全一样：在信号越强的频率点，滤波器的放大倍数也越大；在信号越弱的频率点，滤波器的放大倍数也越小（注意白噪声的功率谱是平坦的，在各个频率点都一样）。

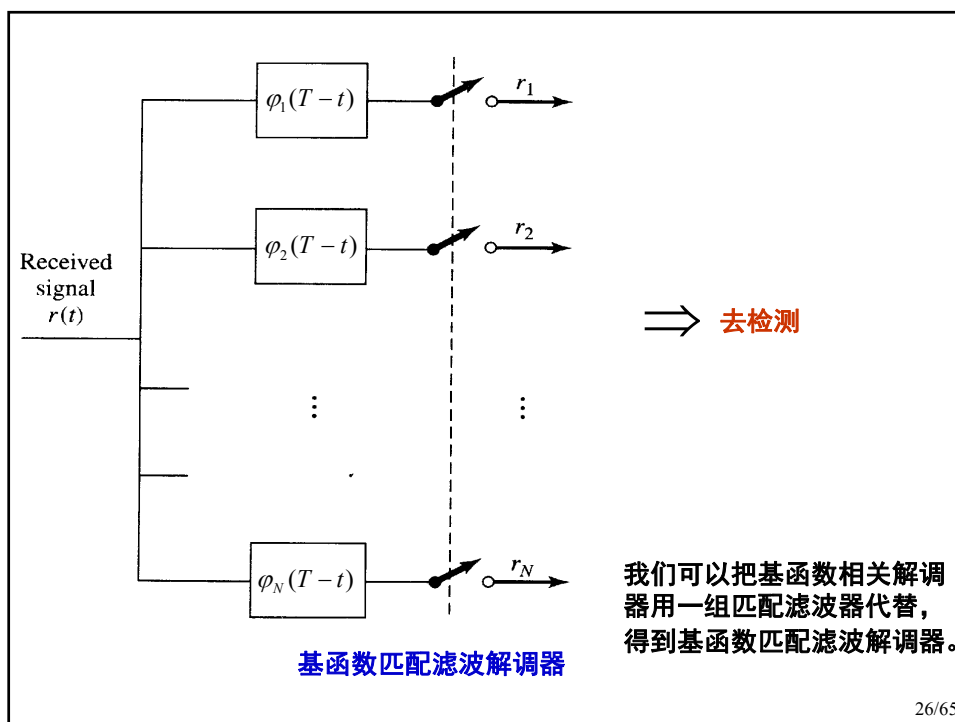
•从相频特性上看，匹配滤波器的相频特性和输入信号正好完全相反。通过匹配滤波器后，信号的相位为0，正好能实现信号时域上的相干叠加。而噪声的相位是随机的，只能实现非相干叠加。这样在时域上保证了输出信噪比的最大。

匹配滤波器的信号输出：

$$y_s(t) = \int_{-\infty}^{\infty} s(t-\tau)h(\tau)d\tau = \int_{-\infty}^{\infty} s(t-\tau) \cdot s(T-\tau)d\tau = R_s(t-T)$$

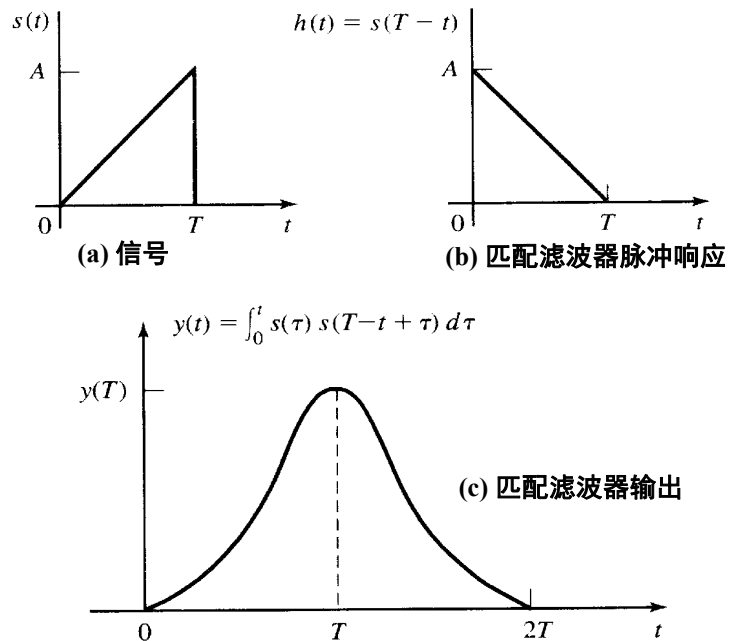
在 $t = T$ 时， $y_s(T) = R_s(0)$ ，正是相关器在 $t = T$ 时的输出。

25/65



26/65

[例]



27/65

注意：匹配滤波器的输出仅当 $t = T$ 时才和相关器输出相同，在其它时刻二者输出是不一样的。例如对于正弦信号，图中的实线表示相应匹配滤波器输出，而虚线表示对应相关器输出。

[例]
$$s(t) = \begin{cases} \cos 2\pi f_0 t & t \in [0, T] \\ 0 & t \notin [0, T] \end{cases}$$

$$S(f) = \int_{-\infty}^{+\infty} s(t) e^{-j2\pi f t} dt = \frac{1 - e^{-j2\pi(f-f_0)T}}{-j4\pi(f-f_0)} + \frac{1 - e^{-j2\pi(f+f_0)T}}{-j4\pi(f+f_0)}$$

匹配滤波器的频率响应：

$$\begin{aligned} H(f) &= S^*(f) e^{-j2\pi f T} \\ &= \frac{[e^{j2\pi(f-f_0)T} - 1] e^{-j2\pi f T}}{j4\pi(f-f_0)} + \frac{[e^{j2\pi(f+f_0)T} - 1] e^{-j2\pi f T}}{j4\pi(f+f_0)} \end{aligned}$$

28/65

匹配滤波器的脉冲响应:

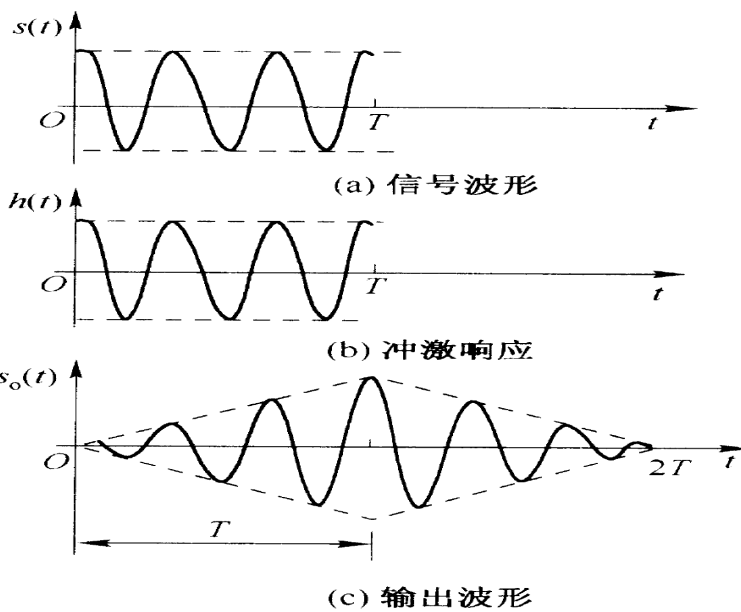
$$h(t) = s(T-t) = \cos 2\pi f_0(T-t) \quad t \in [0, T]$$

假设 $f_0 = N/T$

输出信号: $s_o(t) = \int_{-\infty}^{+\infty} s(\tau)h(t-\tau)d\tau$

$$= \begin{cases} \frac{t}{2} \cos 2\pi f_0 t & 0 \leq t < T \\ \frac{2T-t}{2} \cos 2\pi f_0 t & T \leq t < 2T \\ 0 & \text{其它} \end{cases}$$

29/65



30/65

[例6.3.4] 在二进制基带传输系统中，可能发送二种波形

$$s_1(t) = \begin{cases} A & 0 \leq t \leq \frac{T}{2} \\ 0 & \text{其它} \end{cases} \quad s_2(t) = \begin{cases} A & \frac{T}{2} \leq t \leq T \\ 0 & \text{其它} \end{cases}$$

发送“0” 发送“1”

求其基函数匹配滤波解调器。

[解] 构成二维正交基：

$$\varphi_1(t) = \sqrt{\frac{2}{TA^2}} s_1(t), \quad \varphi_2(t) = \sqrt{\frac{2}{TA^2}} s_2(t)$$

相应的匹配滤波器为，

$$h_1(t) = \varphi_1(T-t) = \begin{cases} \sqrt{\frac{2}{TA^2}}, & \frac{T}{2} \leq t \leq T \\ 0 & \text{其它} \end{cases}$$

$$h_2(t) = \varphi_2(T-t) = \begin{cases} \sqrt{\frac{2}{TA^2}}, & 0 \leq t \leq \frac{T}{2} \\ 0 & \text{其它} \end{cases}$$

31/65

当 $s_1(t)$ 发送时，匹配滤波器 $h_1(t)$ 在 $t = T$ 时输出信号值为，

$$y_{1s}(T) = \sqrt{\frac{A^2 T}{2}} = \sqrt{E_s}$$

E_s 为符号能量。而滤波器 $h_2(t)$ 在 $t = T$ 时输出信号值为，

$$y_{2s}(T) = 0$$

匹配型解调器输出采样矢量值为，

$$\mathbf{r} = (r_1, r_2) = (\sqrt{E_s} + n_1, n_2)$$

其中 n_1 和 n_2 为噪声通过这两只匹配滤波器，在 $t = T$ 时的采样值；

$$n_1 = y_{1n}(T) = \int_0^T n(t) \varphi_1(t) dt$$

$$n_2 = y_{2n}(T) = \int_0^T n(t) \varphi_2(t) dt$$

$$E[n_1] = E[n_2] = 0, \sigma_{n_1}^2 = \sigma_{n_2}^2 = \frac{N_0}{2}$$

第一只匹配滤波的输出信噪比为，

$$\left(\frac{S}{N} \right)_o = \frac{y_{1s}^2(T)}{\sigma_{n_1}^2} = \frac{2E_s}{N_0}$$

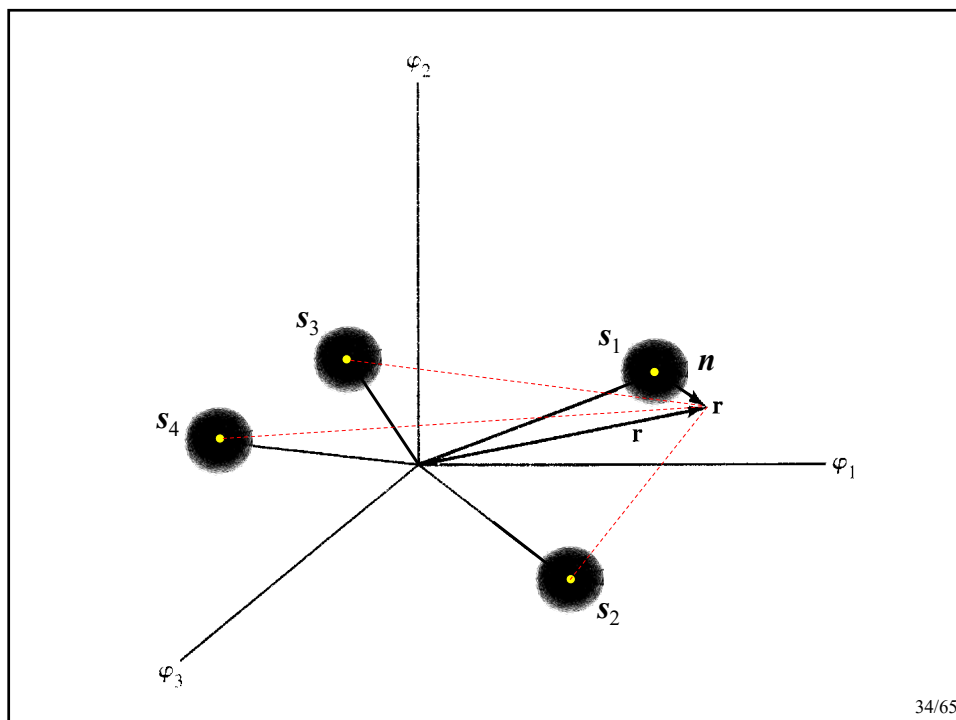
32/65

五、最佳检测判决器

对于AWGN上基带信号传输来说，无论是基函数相关解调，还是基函数匹配滤波解调，都产生一个判决矢量 $\mathbf{r} = (r_1, r_2, \dots, r_N)$ ，接收信号中有关发送信号的全部有用信息包含在这个判决矢量中。

接收矢量是二项之和，一项是 \mathbf{s}_m ，即与发送信号波形有关的矢量，另一项是噪声矢量 \mathbf{n} ，它是噪声在信号空间的投影。把 \mathbf{s}_m 视做信号空间一点， \mathbf{n} 是 N 维信号空间一个随机矢量。它的每个分量是均值为 0，方差为 $\frac{N_0}{2}$ 的独立高斯变量，它可以表示为矢量 \mathbf{s}_m 上叠加一个球对称分布的噪声，形成了信号空间中以 \mathbf{s}_m 为中心的一个球状云团。

33/65



信号检测准则：

设 M 个信号为 $s_m(t)$, $m=1,2,\dots,M$, 相应的先验概率为 $p(s_m)$ 。

如果我们没有收到 $r(t)$, 则我们总是估计 $p(s_m)$ 最大的那个信号为最可能被发送。

如果我们收到 $r(t)$, 应该选使后验概率 $p(s_m | r)$ 最大的那个 s_m 为发送信号。这称为最大后验概率准则 (MAP)。

$$p(s_m | r) = \frac{p(r | s_m) \cdot p(s_m)}{p(r)}, \quad p(r) = \sum_{m=1}^M p(r | s_m) \cdot p(s_m)$$

最大后验概率准则 (MAP)：

$$m_{MAP} = \arg \max_m \{p(s_m | r)\} \Leftrightarrow \arg \max_m \{p(r | s_m) \cdot p(s_m)\}$$

最大似然概率准则 (ML)：

$$m_{ML} = \arg \max_m \{p(r | s_m)\}$$

当 M 个信号是先验等可能传送时, $p(s_m) = 1/M$, $m_{MAP} = m_{ML}$

35/65

由于对数函数的单调性, 所以最大后验概率准则 (MAP) 也等价于:

$$\begin{aligned} \arg \max_m \{p(s_m | r)\} &\Leftrightarrow \arg \max_m \{\ln [p(s_m | r)]\} \\ &\Leftrightarrow \arg \max_m \{\ln p(s_m) + \ln p(r | s_m)\} \end{aligned}$$

$$\begin{aligned} \text{由} \quad p(r | s_m) &= \frac{1}{(\pi N_0)^{N/2}} \exp \left\{ -\sum_{i=1}^N (r_i - s_{mi})^2 / N_0 \right\} \quad (6.3.21) \\ &= \frac{1}{(\pi N_0)^{N/2}} \exp \left\{ -\|r - s_m\|^2 / N_0 \right\} \\ \ln p(r | s_m) &= -\frac{N}{2} \ln(\pi N_0) - \frac{1}{N_0} \sum_{i=1}^N (r_i - s_{mi})^2 \end{aligned}$$

最大后验概率准则为：

$$\arg \max_m \left\{ \ln p(s_m) - \frac{N}{2} \ln(\pi N_0) - \frac{1}{N_0} \sum_{i=1}^N (r_i - s_{mi})^2 \right\}$$

36/65

$$\Leftrightarrow \arg \max_m \left\{ \ln p(\mathbf{s}_m) - \frac{1}{N_0} \|\mathbf{r} - \mathbf{s}_m\|^2 \right\}$$

当 M 个信号是先验等可能传送时, $p(\mathbf{s}_m) = 1/M$, $m_{MAP} = m_{ML}$

最大似然概率准则 (ML) :

$$m_{ML} = \arg \max_m \{ p(\mathbf{r} | \mathbf{s}_m) \}$$

$$\Leftrightarrow \arg \max_m \left\{ -\frac{1}{N_0} \|\mathbf{r} - \mathbf{s}_m\|^2 \right\}$$

若记 $D_m \triangleq \|\mathbf{r} - \mathbf{s}_m\|^2$

$$m_{ML} = \arg \min_m \{ D_m \}$$

最大似然概率准则 (ML) 等价于最小距离准则;

37/65

由于
$$\frac{1}{N_0} \sum_{i=1}^N (r_i - s_{mi})^2 = \frac{1}{N_0} \sum_{i=1}^N r_i^2 + \frac{1}{N_0} \sum_{i=1}^N s_{mi}^2 - \frac{2}{N_0} \sum_{i=1}^N r_i s_{mi}$$

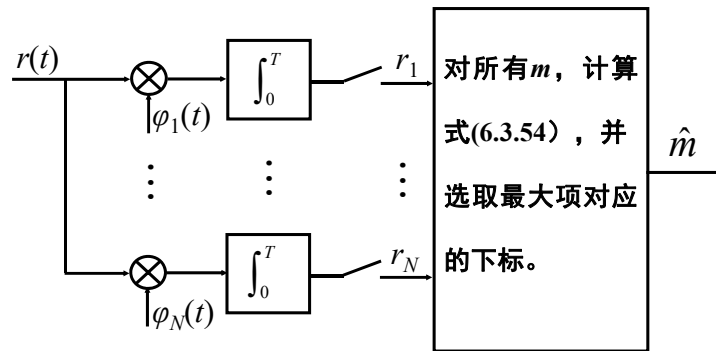
忽略与 m 无关项, 得到最大后验概率准则等价于:

$$\begin{aligned} \arg \max_m \left\{ \ln p(\mathbf{s}_m) - \frac{1}{N_0} \sum_{i=1}^N s_{mi}^2 + \frac{2}{N_0} \sum_{i=1}^N r_i s_{mi} \right\} \\ = \arg \max_m \left\{ \ln p(\mathbf{s}_m) - \frac{E_m}{N_0} + \frac{2}{N_0} (\mathbf{r}, \mathbf{s}_m) \right\} \end{aligned} \quad (6.3.54)$$

其中 E_m 为信号 \mathbf{s}_m 的能量, $(\mathbf{r}, \mathbf{s}_m)$ 为 \mathbf{r} 和 \mathbf{s}_m 的内积。

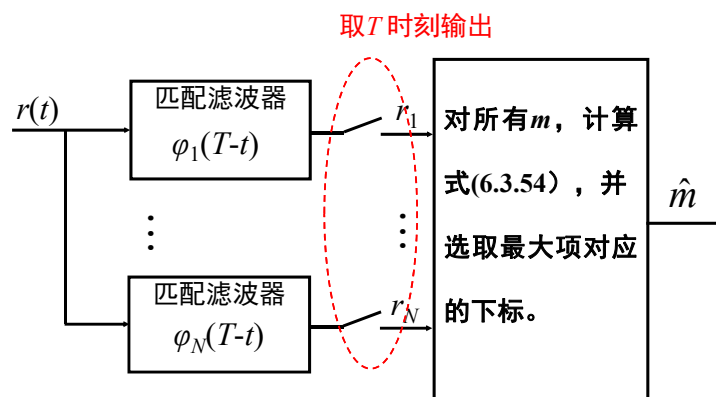
38/65

最大后验概率接收机是基函数相关器



39/65

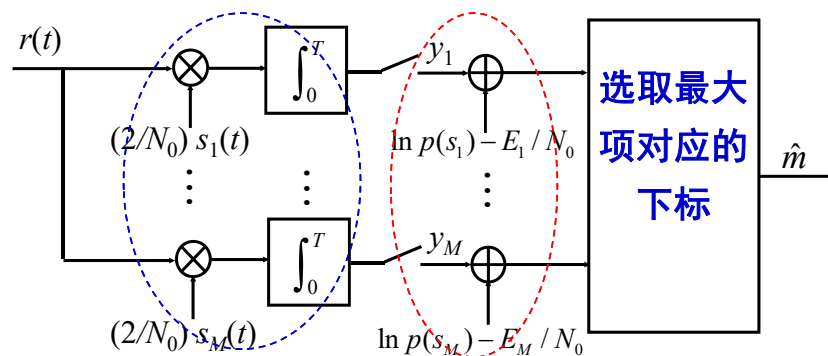
最大后验概率接收机是基函数匹配滤波器



40/65

由于 $E_m = \int_0^T s_m^2(t)dt$, $(\mathbf{r}, \mathbf{s}_m) = \int_0^T r(t)s_m(t)dt$

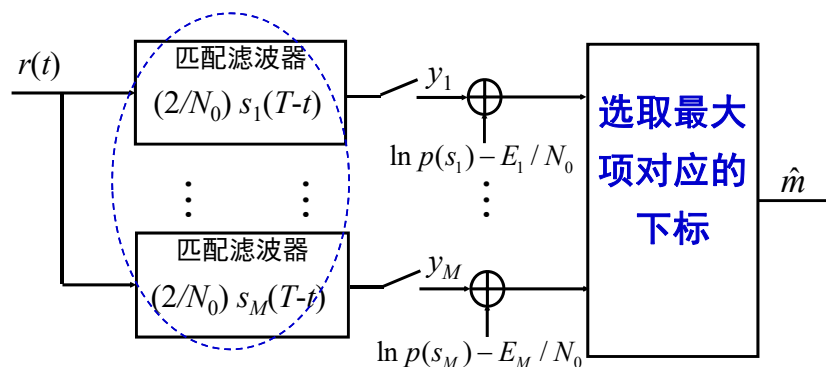
MAP准则: $\arg \max_m \left\{ \ln p(\mathbf{s}_m) - \frac{E_m}{N_0} + \frac{2}{N_0} \int_0^T r(t)s_m(t)dt \right\}$



MAP解释1: 最大后验概率接收机是（信号）相关器

41/65

MAP解释2: 最大后验概率接收机是（信号）匹配滤波器



注意: 基函数相关接收机的支路数 N 不大于信号相关接收机的支路数 M 。

42/65

[例6.3.5] 二进制基带信号的最佳接收

二个可能的信号为 $s_1(t), s_2(t), t \in [0, T]$; 对应信号点为 s_1, s_2 ;
它们能量分别为 E_1, E_2 , 先验概率为 $p, 1-p$; 加性白高斯噪声的
双边功率谱密度为 $\frac{N_0}{2}$, 求最佳的MAP检测器。

[解] 接收到信号为: $r(t) = \{s_1(t) \text{ 或 } s_2(t)\} + n(t)$

信号空间表示为: $r = \{s_1 \text{ 或 } s_2\} + n$

最佳MAP接收机是 $\begin{cases} p(r|s_1) \cdot p(s_1) > p(r|s_2) \cdot p(s_2) & s_1 \text{ 发送} \\ p(r|s_1) \cdot p(s_1) < p(r|s_2) \cdot p(s_2) & s_2 \text{ 发送} \end{cases} \quad (6.3.50)$

$$\begin{cases} \frac{p(r|s_1)}{p(r|s_2)} > \beta & s_1 \text{ 发送} \\ \frac{p(r|s_1)}{p(r|s_2)} < \beta & s_2 \text{ 发送} \end{cases}, \quad \text{其中 } \beta = \frac{1-p}{p}$$

或者

$$\begin{cases} \ln p(r|s_1) - \ln p(r|s_2) > \ln \beta & s_1 \text{ 发送} \\ \ln p(r|s_1) - \ln p(r|s_2) < \ln \beta & s_2 \text{ 发送} \end{cases}$$

43/65

因为

$$\begin{aligned} p(r|s_i) &= \frac{1}{(\pi N_0)^{N/2}} \exp \left\{ -\sum_{i=1}^N (r_k - s_{ik})^2 / N_0 \right\} \quad (6.3.21) \\ &= \frac{1}{(\pi N_0)^{N/2}} \exp \left\{ -\|r - s_i\|^2 / N_0 \right\} \end{aligned}$$

所以

$$\ln p(r|s_1) - \ln p(r|s_2) = -\frac{1}{N_0} \|r - s_1\|^2 + \frac{1}{N_0} \|r - s_2\|^2$$

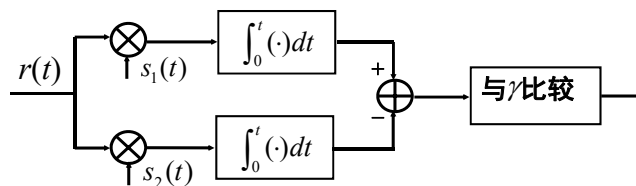
由于

$$\|r - s_i\|^2 = \|r\|^2 - 2r \cdot s_i + \|s_i\|^2 = \|r\|^2 - 2r \cdot s_i + E_i$$

MAP检测:

$$\begin{cases} r \cdot s_1 - r \cdot s_2 > (N_0 \ln \beta + E_1 - E_2)/2 & s_1 \text{ 发送} \\ r \cdot s_1 - r \cdot s_2 < (N_0 \ln \beta + E_1 - E_2)/2 & s_2 \text{ 发送} \end{cases}$$

$$\begin{cases} \int_0^T r(t) \cdot s_1(t) dt - \int_0^T r(t) \cdot s_2(t) dt > \gamma \\ \int_0^T r(t) \cdot s_1(t) dt - \int_0^T r(t) \cdot s_2(t) dt < \gamma \end{cases}, \quad \text{其中 } \gamma \triangleq (N_0 \ln \beta + E_1 - E_2)/2$$



44/65

最大后验 (MAP) 检测: 选 s_m 使 $p(s_m) \cdot p(r | s_m)$ 最大;

最大似然 (ML) 检测: 选 s_m 使 $p(r | s_m)$ 最大;

最佳性证明

当信号先验概率分布已知时, 采用MAP准则可以使平均错误概率最小。

接收到矢量 $r = (r_1, r_2, \dots, r_N)$ 是 N 维信号空间中一个点, 根据 r 做出发送信号是哪一个的判决, 相当于把信号空间划分成 M 个区域 R_m ,

$m = 1, 2, \dots, M$ 。若 r 落入 R_i , 就判定发送的是信号 $s_i(t)$ 。如何划分使错误概率最小? 设发送的是 $s_m(t)$, 但接收到的矢量 r 落到 R_m 以外, 判决就出错误。所以在发送 $s_m(t)$ 条件下的错误概率为:

$$P(e | s_m) = \int_{R_m^c} p(r | s_m) dr$$

其中 R_m^c 为 R_m 的补空间。

45/65

平均错误概率为:

$$\begin{aligned} P(e) &= \sum_{m=1}^M p(s_m) P(e | s_m) \\ &= \sum_{m=1}^M p(s_m) \int_{R_m^c} p(r | s_m) dr \\ &= \sum_{m=1}^M p(s_m) \left[1 - \int_{R_m} p(r | s_m) dr \right] \\ &= 1 - \sum_{m=1}^M \int_{R_m} p(s_m | r) \cdot p(r) dr \end{aligned}$$

为了平均错误概率最小, 划分应该使在 R_m 中的点 r 满足

$$p(s_m | r) \cdot p(r) \geq p(s_i | r) \cdot p(r), \quad i \neq m$$

即
$$p(s_m | r) \geq p(s_i | r), \quad i \neq m$$

这就是最大后验概率准则 (MAP)。

同样当 M 个信号先验等概分布时, 采用ML准则可以使平均错误概率最小。

遵循 (6.3.50)

46/65

六、AWGN上信号检测的错误（误符号）概率计算

[例6.3.6] 二进制基带传输。二个等概、等能（ E_b ）的波形是

$$s_1(t) = g_T(t), \quad s_2(t) = -g_T(t),$$

$g_T(t)$ 是 $[0, T_b]$ 上任意脉冲，在其外为零。加性噪声 $n(t)$ 是零均值，方差为 $\frac{N_0}{2}$ 的高斯随机变量。

$$\begin{aligned} \varphi(t) &= g_T(t) / \sqrt{E_b} \\ r &= \int_0^{T_b} r(t) \varphi(t) dt \end{aligned}$$

如果信号 $s_m(t)$ 被传输，则从相关解调器（或匹配滤波解调器）获得的

一维接收矢量为： $r = s_m + n = \pm \sqrt{E_b} + n$

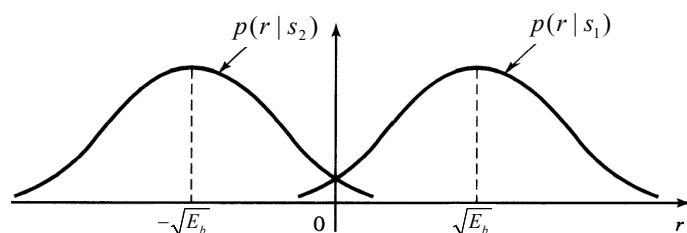
其中 n 是零均值，方差为 $\frac{N_0}{2}$ 的高斯随机变量。由于发送信号是等概、等能量的，所以MAP准则和ML准则等价，所确定的门限是 $\gamma = 0$ 。

内
积

当 $r(s_1 - s_2) > 0$, 则选 s_1 当 $r > 0$, 则选 s_1
当 $r(s_1 - s_2) < 0$, 则选 s_2 当 $r < 0$, 则选 s_2

47/65

$$\begin{aligned} p(r | s_1) &= \frac{1}{\sqrt{\pi N_0}} \exp \left\{ -\frac{(r - \sqrt{E_b})^2}{N_0} \right\} \\ p(r | s_2) &= \frac{1}{\sqrt{\pi N_0}} \exp \left\{ -\frac{(r + \sqrt{E_b})^2}{N_0} \right\} \end{aligned}$$



$$\begin{aligned} P(e | s_1) &= \int_{-\infty}^0 p(r | s_1) dr = \frac{1}{\sqrt{\pi N_0}} \int_{-\infty}^0 \exp \left\{ -\frac{(r - \sqrt{E_b})^2}{N_0} \right\} dr \\ &= \frac{1}{\sqrt{2\pi}} \int_{\sqrt{2E_b/N_0}}^{\infty} e^{-x^2/2} dx = Q \left(\sqrt{\frac{2E_b}{N_0}} \right) \end{aligned}$$

其中 $Q(x) = \frac{1}{\sqrt{2\pi}} \int_x^{\infty} e^{-x^2/2} dx$

48/65

由于对称性，显然 $P(e|s_2) = \int_0^\infty p(r|s_2)dr = P(e|s_1)$

所以平均错误概率 $P_b = p(s_1)P(e|s_1) + p(s_2)P(e|s_2)$

$$= Q\left(\sqrt{\frac{2E_b}{N_0}}\right)$$

在信号空间中， s_1 和 s_2 的距离 $d_{12} = 2\sqrt{E_b}$ ，所以

$$P_b = Q\left(\sqrt{\frac{d_{12}^2}{2N_0}}\right)$$

说明差错概率与信号点之间的距离有关。在噪声功率一定的情况下，距离越大则错误概率越小，但要求信号能量也越大。

49/65

[例6.3.7] 考虑例6.3.4中的二元等概、等能量正交信号：

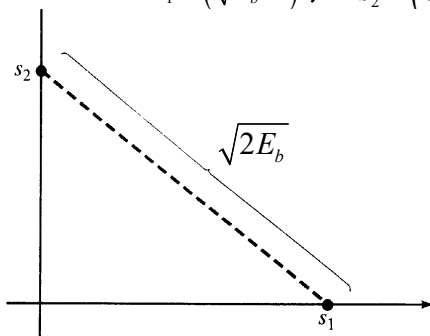
$$s_1(t) = \begin{cases} A, & 0 \leq t \leq \frac{T}{2} \\ 0, & \text{其它} \end{cases} \quad s_2(t) = \begin{cases} A, & \frac{T}{2} \leq t \leq T \\ 0, & \text{其它} \end{cases}$$

发送 “0”

发送 “1”

信号空间中对应的信号点为：

$$s_1 = (\sqrt{E_b}, 0), \quad s_2 = (0, \sqrt{E_b}) \quad \text{其中 } E_b = \frac{A^2 T}{2}$$



假定发送信号 $s_1(t)$ ，则在解调器输出的接收矢量为：

$$\mathbf{r} = [\sqrt{E_b} + n_1, n_2]$$

$$E[n_1] = E[n_2] = 0, \sigma_{n_1}^2 = \sigma_{n_2}^2 = \frac{N_0}{2}$$

50/65

在先验等概情况下，错误概率就是发生 $D(\mathbf{r}, \mathbf{s}_1) > D(\mathbf{r}, \mathbf{s}_2)$ 的概率，即：

$$P(e | \mathbf{s}_1) = P\{D(\mathbf{r}, \mathbf{s}_1) > D(\mathbf{r}, \mathbf{s}_2) | \mathbf{s}_1\}$$

$$D(\mathbf{r}, \mathbf{s}_1) > D(\mathbf{r}, \mathbf{s}_2) \iff \|\mathbf{r}\|^2 - 2\mathbf{r} \cdot \mathbf{s}_1 + \|\mathbf{s}_1\|^2 > \|\mathbf{r}\|^2 - 2\mathbf{r} \cdot \mathbf{s}_2 + \|\mathbf{s}_2\|^2$$

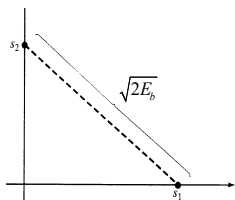
$$\iff \mathbf{r} \cdot \mathbf{s}_1 < \mathbf{r} \cdot \mathbf{s}_2 \iff E_b + n_1 \sqrt{E_b} < n_2 \sqrt{E_b}$$

所以

$$P(e | \mathbf{s}_1) = P\{n_2 - n_1 > \sqrt{E_b}\}$$

因为 $(n_2 - n_1)$ 是均值为0，方差为 N_0 的高斯变量，所以

$$\begin{aligned} P\{n_2 - n_1 > \sqrt{E_b}\} &= \frac{1}{\sqrt{2\pi N_0}} \int_{\sqrt{E_b}}^{\infty} e^{-x^2/2N_0} dx \\ &= \frac{1}{\sqrt{2\pi}} \int_{\sqrt{E_b/N_0}}^{\infty} e^{-x^2/2} dx \\ &= Q\left[\sqrt{\frac{E_b}{N_0}}\right] = Q\left[\sqrt{\frac{d_{12}^2}{2N_0}}\right] \end{aligned}$$



51/65

对二进制正交信号来说，误码率与对映信号[例6.3.4]一样，但现在二个信号点之间距离是对映信号的 $\frac{1}{\sqrt{2}}$ ，所以如果要达到与对映信号相同误码率，则信号能量要增加一倍。

[例6.3.8] 一般等能量、二进制基带信号在AWGN信道上传输

二个等能量信号 $s_1(t)$ 和 $s_2(t)$ ，先验概率为 p_1, p_2 ， $p_1 + p_2 = 1$ 。

在二维信号空间中对应的信号点为：

$$\mathbf{s}_1 = (s_{11}, s_{12}), \quad \mathbf{s}_2 = (s_{21}, s_{22}) \quad \|\mathbf{s}_1\|^2 = \|\mathbf{s}_2\|^2 = E_b$$

设发送信号 $\mathbf{s}_1(t)$ ，则解调器输出接收矢量为：

$$\mathbf{r} = [s_{11} + n_1, s_{12} + n_2]$$

由MAP准则，差错概率是事件 由例6.3.5中式 (6.3.62)

$$P(e | s_1) = P\left\{\|\mathbf{r} - \mathbf{s}_2\|^2 - \|\mathbf{r} - \mathbf{s}_1\|^2 < N_0 \ln \frac{p_2}{p_1}\right\}$$

6.3.7
&
6.3.6
一般情况

52/65

$$\|\mathbf{r} - \mathbf{s}_2\|^2 - \|\mathbf{r} - \mathbf{s}_1\|^2 = 2[\mathbf{r} \cdot (\mathbf{s}_1 - \mathbf{s}_2)] = 2 \left\{ \mathbf{n} \cdot (\mathbf{s}_1 - \mathbf{s}_2) + \frac{1}{2} \|\mathbf{s}_1 - \mathbf{s}_2\|^2 \right\}$$

条件差错概率 $P(e | \mathbf{s}_1) = P \left\{ \mathbf{n} \cdot (\mathbf{s}_1 - \mathbf{s}_2) < \frac{N_0}{2} \ln \frac{p_2}{p_1} - \frac{1}{2} \|\mathbf{s}_1 - \mathbf{s}_2\|^2 \right\}$

记 $\xi \triangleq \mathbf{n} \cdot (\mathbf{s}_1 - \mathbf{s}_2) = n_1(s_{11} - s_{21}) + n_2(s_{12} - s_{22})$

ξ 是**高斯变量**, $E(\xi) = 0$

$$D(\xi) = \frac{N_0}{2} [(s_{11} - s_{21})^2 + (s_{12} - s_{22})^2] = \frac{N_0}{2} \|\mathbf{s}_1 - \mathbf{s}_2\|^2 \triangleq \sigma_\xi^2$$

所以 $P(e | \mathbf{s}_1) = \frac{1}{\sqrt{2\pi}\sigma_\xi} \int_{-\infty}^a \exp \left\{ -\frac{x^2}{2\sigma_\xi^2} \right\} dx$

$$a = \frac{N_0}{2} \ln \frac{p_2}{p_1} - \frac{1}{2} \|\mathbf{s}_1 - \mathbf{s}_2\|^2$$

同样 $P(e | \mathbf{s}_2) = \frac{1}{\sqrt{2\pi}\sigma_\xi} \int_{a'}^{\infty} \exp \left\{ -\frac{x^2}{2\sigma_\xi^2} \right\} dx$

$$a' = \frac{N_0}{2} \ln \frac{p_2}{p_1} + \frac{1}{2} \|\mathbf{s}_1 - \mathbf{s}_2\|^2$$

53/65

最后经整理, 平均错误概率为:

$$P(e) = p_1 P(e | \mathbf{s}_1) + p_2 P(e | \mathbf{s}_2) \\ = p_1 \left\{ \frac{1}{\sqrt{2\pi}} \int_b^{\infty} \exp \left[-\frac{z^2}{2} \right] dz \right\} + p_2 \left\{ \frac{1}{\sqrt{2\pi}} \int_{b'}^{\infty} \exp \left[-\frac{z^2}{2} \right] dz \right\}$$

$$b = -\frac{a}{\sigma_\xi} = \sqrt{\frac{1}{2N_0} \|\mathbf{s}_1 - \mathbf{s}_2\|^2} - \frac{\ln \frac{p_1}{p_2}}{\sqrt{\frac{2}{N_0} \|\mathbf{s}_1 - \mathbf{s}_2\|^2}}$$

$$b' = \sqrt{\frac{1}{2N_0} \|\mathbf{s}_1 - \mathbf{s}_2\|^2} + \frac{\ln \frac{p_1}{p_2}}{\sqrt{\frac{2}{N_0} \|\mathbf{s}_1 - \mathbf{s}_2\|^2}}$$

当 $p_1 = p_2$ 时, 差错概率仅和 $\sqrt{\frac{1}{2N_0} \|\mathbf{s}_1 - \mathbf{s}_2\|^2}$ 有关, 这时

54/65

$$P(e) = \frac{1}{\sqrt{2\pi}} \int_A e^{-\frac{x^2}{2}} dx = Q(A)$$

$$A = \sqrt{\frac{1}{2N_0} \|\mathbf{s}_1 - \mathbf{s}_2\|^2}$$

因为 $\|\mathbf{s}_1 - \mathbf{s}_2\|^2 = \int_0^T [s_1(t) - s_2(t)]^2 dt = 2E_b - 2 \int_0^T s_1(t)s_2(t)dt$

定义 $\rho = \frac{\int_0^T s_1(t)s_2(t)dt}{E_b}$, $|\rho| \leq 1$

则 $A = \sqrt{\frac{E_b(1-\rho)}{N_0}}$

当 $\rho = -1$ (即对映信号), $A = \sqrt{\frac{2E_b}{N_0}}$ 为最大; ——例6.3.6

当 $\rho = 0$ 时, 二个信号正交, 这时 $A = \sqrt{\frac{E_b}{N_0}}$ 。——例6.3.7

55/65

[例6.3.9] M进制PAM的误符号概率计算

M进制PAM的信号形式为,

$$s_m(t) = A_m \cdot g_T(t), \quad m = 1, 2, \dots, M$$

一维信号空间中M个信号点为,

$$s_m = A_m \cdot \sqrt{E_g}, \quad A_m = (2m-1-M), \quad m = 1, 2, \dots, M$$

其中 E_g 为 $g_T(t)$ 的能量。二个相邻信号点之间的距离为 $2\sqrt{E_g}$ 。

设信号的先验概率是相等的, 则平均信号能量为,

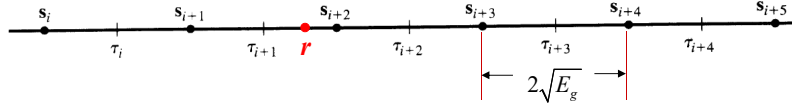
$$\begin{aligned} E_{av} &= \frac{1}{M} \sum_{m=1}^M E_m = \frac{E_g}{M} \sum_{m=1}^M (2m-1-M)^2 \\ &= \frac{E_g}{M} \cdot \frac{M(M^2-1)}{3} = \left(\frac{M^2-1}{3} \right) E_g \end{aligned}$$

平均比特能量: $E_{bav} = E_{av} / \log_2 M$

平均功率为: $P_{av} = \frac{E_{av}}{T} = \frac{M^2-1}{3} \cdot \frac{E_g}{T}$

56/65

对于等概先验分布来说MAP和ML相同，这时最佳判决准则是按最小距离原则，即接收信号离哪个信号点最近就判定为发送信号，所以门限点的设置如图；



设发送的是第 m 电平信号，于是解调器输出是：

$$r = s_m + n = \sqrt{E_g} \cdot A_m + n$$

其中 n 是零均值，方差为 $\sigma_n^2 = \frac{N_0}{2}$ 的高斯噪声。

当 $m \neq 1$ 和 M 时，判决错误概率等于 $|r - s_m| > \sqrt{E_g}$ 的概率。所以

$$\begin{aligned} P(e | s_m) &= P\{|r - s_m| > \sqrt{E_g}\} \\ &= \frac{2}{\sqrt{\pi N_0}} \int_{\sqrt{E_g}}^{\infty} \exp\left\{-\frac{x^2}{N_0}\right\} dx = 2Q\left(\sqrt{\frac{2E_g}{N_0}}\right) \end{aligned}$$

57/65

当 $m = 1$ 和 M 时，判决错误概率为，

$$\begin{aligned} P(e | s_1) &= P\{r - s_1 > \sqrt{E_g}\} \\ P(e | s_M) &= P\{r - s_M < -\sqrt{E_g}\} \end{aligned}$$

由于 $P(e | s_1) + P(e | s_M) = 2Q\left(\sqrt{\frac{2E_g}{N_0}}\right)$

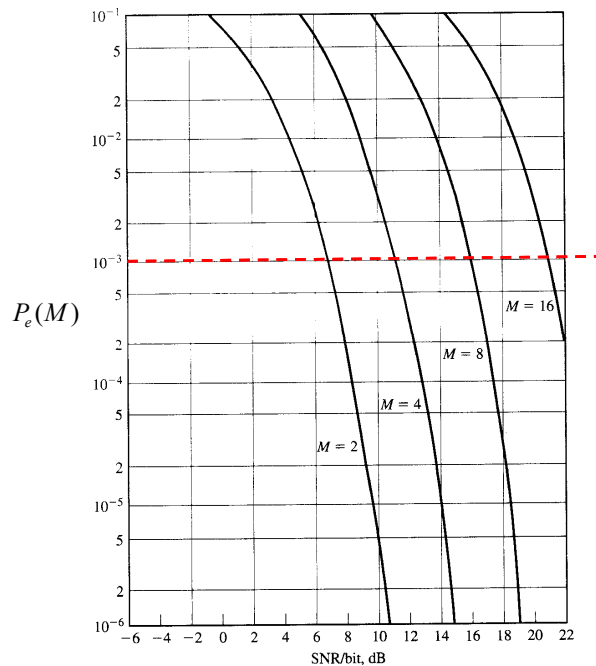
所以平均错误概率为

$$P_M(e) = \frac{2(M-1)}{M} Q\left(\sqrt{\frac{2E_g}{N_0}}\right)$$

由于 $E_g = \frac{3}{M^2 - 1} E_{av}$

所以 $P_M(e) = \frac{2(M-1)}{M} Q\left(\sqrt{\frac{6E_{av}}{(M^2 - 1)N_0}}\right)$

58/65



59/65

[例6.3.10] M 进制正交信号的错误概率

对于 M 个等概、等能量 (E_s) 的正交信号 $s_m(t), m = 1, 2, \dots, M$ ，它们在信号空间中表示为：

$$\mathbf{s}_m = (0, 0, \dots, \overset{\substack{\downarrow \\ \text{第} m \text{ 位}}}{\sqrt{E_s}}, 0, \dots, 0)$$

最佳检测器是选择与接收到矢量 \mathbf{r} 内积最大的信号矢量 \mathbf{s}_m 为发送信号矢量；设 \mathbf{s}_1 为发送信号则解调器输出矢量为：

$$\mathbf{r} = (\sqrt{E_s} + n_1, n_2, \dots, n_M)$$

n_1, n_2, \dots, n_M 为零均值，方差为 $\frac{N_0}{2}$ 的独立高斯变量，

$$\mathbf{r} \cdot \mathbf{s}_1 = \sqrt{E_s} (\sqrt{E_s} + n_1)$$

$$\mathbf{r} \cdot \mathbf{s}_m = n_m \sqrt{E_s} \quad m \neq 1$$

所有相关器输出上除以 $\sqrt{E_s}$ ，不会影响错误概率，

60/65

于是**第一只相关器输出的概率密度**为：

$$p_1(r_1) = \frac{1}{\sqrt{\pi N_0}} \exp \left\{ -\frac{(r_1 - \sqrt{E_s})^2}{N_0} \right\}$$

其它 $(M-1)$ 只相关器输出的概率密度为：

$$p_m(n_m) = \frac{1}{\sqrt{\pi N_0}} \exp \left\{ -\frac{n_m^2}{N_0} \right\}, \quad m = 2, 3, \dots, M$$

所以**正确接收概率**为 **—其他接收机噪声小于 r_1**

$$P_c(M) = \int_{-\infty}^{\infty} p \{ n_2 < r_1, n_3 < r_1, \dots, n_M < r_1 \mid r_1 \} p_1(r_1) dr_1$$

因为 $\{n_k\}$ 是独立的

$$p \{ n_2 < r_1, n_3 < r_1, \dots, n_M < r_1 \mid r_1 \} = \prod_{m=2}^M p \{ n_m < r_1 \mid r_1 \}$$

由于

$$\begin{aligned} p \{ n_m < r_1 \mid r_1 \} &= \int_{-\infty}^{r_1} p_m(x_m) dx_m \\ &= \frac{1}{\sqrt{2\pi}} \int_{-\infty}^{\sqrt{2r_1^2/N_0}} \exp \left\{ -\frac{x^2}{2} \right\} dx = 1 - Q \left(\sqrt{\frac{2r_1^2}{N_0}} \right) \end{aligned}$$

61/65

所以

$$P_c(M) = \int_{-\infty}^{\infty} \left[1 - Q \left(\sqrt{\frac{2r_1^2}{N_0}} \right) \right]^{M-1} p_1(r_1) dr_1$$

$$P_e(M) = \frac{1}{\sqrt{2\pi}} \int_{-\infty}^{\infty} \left\{ 1 - [1 - Q(x)]^{M-1} \right\} \exp \left[-\frac{(x - \sqrt{2E_s/N_0})^2}{2} \right] dx$$

62/65

比较不同数字调制方式的性能，采用**误比特率**与**比特信噪比**。

对于 $M = 2^k$ 个等可能的正交信号，**比特能量**与**符号能量**关系为，

$E_s = kE_b$ 。下面推导**误比特率**与**误符号率**的关系：

对正交信号来说，任何一个信号，比如 s_1 ，它错成其它 $(M-1)$ 个信号是等可能的，所以每种错误形式的概率为，

$$\frac{P_M}{M-1} = \frac{P_M}{2^k-1}$$

在 k 个比特中有 n 个比特错误的错误形式总共有 C_k^n 种，所以出现 n 个比特错误的概率为 $C_k^n \cdot P_M / (2^k - 1)$ ，符号错误引起的平均错误比特数为：

$$\bar{n} = \sum_{n=1}^k n C_k^n \frac{P_M}{2^k - 1} = k \frac{2^{k-1}}{2^k - 1} P_M$$

误比特率为： $P_b = \frac{\bar{n}}{k} \approx \frac{2^{k-1}}{2^k} P_M = \frac{1}{2} P_M$, $k \gg 1$

63/65

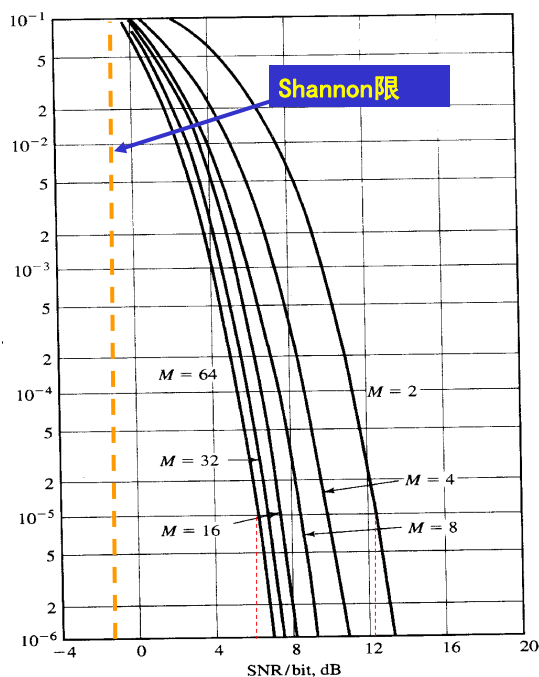


图6.3.20给出了**M进制正交调制**的**比特错误概率**与**比特信噪比**的关系。

当 $M = 2$ 时， $P_b = 10^{-5}$

要求**比特信噪比**略大于

12dB，而对于 $M = 64$ ，

在同样误比特率下**仅要**

求比特信噪比等于**6dB**

左右。

64/65

可以证明，当 $M = 2^k \rightarrow \infty$ 时，误比特率

$$P_b < 2e^{-k(\sqrt{E_b/N_0} - \sqrt{\ln 2})^2}$$

所以当 $k \rightarrow \infty$ 时，只要 $E_b / N_0 > \ln 2 = 0.693$ (-1.6dB)，

则 $P_b \rightarrow 0$ 。



无限带宽条件下传输一个比特所要求的最小信噪比

65/65

习 题

❁ 6-10

❁ 6-13

❁ 6-14

❁ 6-15

❁ 6-18

❁ 6-20

❁ 6-22